

**МЕХАНИКА
ЖИДКОСТИ И ГАЗА**
№ 3 · 1992

УДК 533.69.04+517.54

© 1992 г. Ф. Г. АВХАДИЕВ, А. М. ЕЛИЗАРОВ, Д. А. ФОКИН

**МАКСИМИЗАЦИЯ КРИТИЧЕСКОГО ЧИСЛА МАХА
ДЛЯ НЕСУЩИХ КРЫЛОВЫХ ПРОФИЛЕЙ**

Одна из важных задач теории течений газа около тел заданной формы состоит в определении диапазона изменения числа Маха M_∞ набегающего потока, при котором течение остается всюду дозвуковым. Верхняя граница M^* этого диапазона называется критическим числом Маха и служит параметром, по которому оценивают аэродинамические характеристики околовзвуковых крыловых профилей. При $M_\infty \leq M^*$ для них по самому определению числа M^* коэффициент волнового сопротивления $C_x = 0$.

Критическое число Маха определяется формой обтекаемого профиля. Поэтому представляет интерес оценка M^* для различных классов профилей и нахождение конфигураций, которые обтекаются дозвуковым потоком с максимально возможным M_∞ .

Форма плоских и пространственных тел, удовлетворяющих ряду геометрических ограничений и обтекаемых с максимальным M^* идеальным газом, изучена лишь в симметричном случае: В [1] рассмотрены конфигурации, имеющие фиксированную длину и плоскость или ось симметрии, параллельную скорости набегающего потока. В качестве геометрических ограничений задаются минимально допустимое значение толщины и объем тела (в плоском случае — площадь). Рассмотрен также случай, когда при фиксированной площади задана часть контура, например носовой и кормовой участки. Образующие оптимальных конфигураций состоят из горизонтальных торцов или заданных участков контура и гладко стыкающихся с ними линий тока, на которых число Маха $M = 1$.

В [2] с использованием вариационного принципа [3] численно построен класс оптимальных по M^* симметричных профилей, имеющих заданную площадь и фиксированные носовой и кормовой участки контура. Метод решения основан на минимизации соответствующего функционала в результате последовательности решений прямых задач. В работе [4] построено осесимметричное (в плоском случае — симметричное) тело фиксированной длины, реализующее максимум M^* при заданной максимальной толщине и ограничениях снизу на объем или площадь. В отличие от [1, 2] образующие оптимального тела наряду с торцами и загнутыми участками могут содержать отрезки горизонталей.

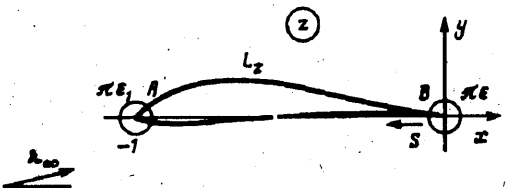
В [5] с использованием проекционно-оптимизационного метода [6] численно построены контуры симметричного несущего и несущего крыловых профилей, имеющих при заданных геометрических ограничениях повышенное критическое число Маха.

Оценка M^* в зависимости от геометрических характеристик выбранного класса профилей получена лишь в [7] (описание этого результата содержится также в [8, с. 90]). Рассмотрено множество симметричных профилей с острой передней кромкой, у которых угол наклона касательной к контуру ограничен числом $\pi/(2\omega)$, $\omega > 1$. Указанная оценка имеет вид $M^* < C^{(n+1)}$, где постоянная $0 < C < 1$ и однозначно определяется уравнением контура.

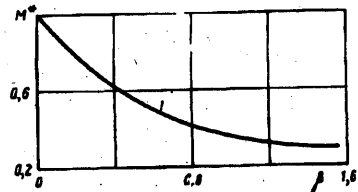
В настоящей работе в рамках приближенного метода Чаплыгина задача максимизации M^* для выбранного класса несущих крыловых профилей сведена к минимаксной задаче специального вида. Построено точное решение последней задачи для расширенного класса течений, включающего неоднолистные. Указаны профили, имеющие повышенное в сравнении с известными критическое число Маха.

1. Постановка задачи. Рассмотрим плоскопараллельное установившееся плавное дозвуковое адиабатическое течение идеального газа со скоростью λ_∞ на бесконечности вокруг непроницаемых профилей (фиг. 1), имеющих единичную хорду и фиксированное значение β теоретического угла атаки, $0 \leq \beta \leq \pi/2$. В дальнейшем все скорости будем относить к критической скорости a .

Рассматриваемые профили ограничены замкнутыми кусочно-гладкими контурами L , имеющими острые кромки A и B с внешними углами $\pi\epsilon_1$ и



Фиг. 1



Фиг. 2

$\pi\epsilon$ соответственно, $1 \leq \epsilon_1, \epsilon_2 \leq 2$. В этих кромках расположены передняя и задняя критические точки потока. Система координат выбрана так, что ее начало совпадает с точкой B , а ось абсцисс направлена вдоль хорды.

Для указанного класса профилей требуется найти такое значение $\lambda^* = \lambda^*(\beta)$, что при всех $\lambda_\infty > \lambda^*$ не существовал профиль, обтекаемый дозвуковым потоком, т. е. для всех профилей нарушалось условие $\lambda_{\max} \leq 1$, где λ_{\max} — максимальное значение скорости на профиле.

Установившееся дозвуковое адиабатическое течение идеального газа описывается уравнениями Чаплыгина [8]

$$\frac{\partial \varphi}{\partial \theta} = \sqrt{K} \frac{\partial \psi}{\partial S}, \quad \frac{\partial \varphi}{\partial S} = -\sqrt{K} \frac{\partial \psi}{\partial \theta} \quad (1.1)$$

где φ — потенциал скорости, ψ — функция тока, S однозначно связана с величиной λ скорости потока, θ — аргумент вектора скорости, $K = K(S)$. Точное решение поставленной задачи весьма сложно. В целях упрощения используем приближенную модель дозвукового течения газа, основанную на предложенной С. А. Чаплыгиным замене $K \equiv 1$. В этом случае, как следует из (1.1), функция Жуковского $\chi = S - i\theta$ является аналитической функцией комплексного переменного $w = \varphi + i\psi$, причем S и λ связаны формулой

$$S = \ln \left[\frac{2\lambda}{1 + \sqrt{1 + 4c^2\lambda^2}} \right] \quad (1.2)$$

Здесь c^2 — положительная постоянная, выбираемая из условия наилучшей линейной аппроксимации адиабаты. В частности, в [9]

$$c^2 = 0,296 \quad \text{или} \quad c^2 = \frac{1}{2(\kappa + 1)(1 - \lambda_\infty^2)} \quad (1.3)$$

где κ — показатель адиабаты. Другой способ выбора c^2 предложен в [10]

$$c^2 = (h + 1) \frac{\sqrt{h^2 - \lambda_\infty^2} - \sqrt{1 - \lambda_\infty^2}}{4h^2(h - 1)^{2h-1}}, \quad h = \sqrt{\frac{(\kappa + 1)}{(\kappa - 1)}} \quad (1.4)$$

Описанная модель, называемая обычно газом Чаплыгина, обеспечивает удовлетворительную точность при расчете поля скоростей λ в дозвуковой области. Однако переход к газу Чаплыгина, согласно [9], дает погрешность при вычислении по λ чисел Маха M , поскольку формально для газа Чаплыгина число Маха не достигает единицы. Поэтому в приближении Чаплыгина обычно определяют только скорость λ , а затем M вычисляют по формуле

$$M = \sqrt{\lambda} \left(-\frac{1}{h^2} \right) \left(1 - \frac{\lambda^2}{h^2} \right) \quad (1.5)$$

В этом случае максимизация M^* для выбранного класса профилей эквивалента максимизации величины λ_∞ скорости набегающего потока при условии, что скорость на профиле не превосходит единицы.

Сведем рассматриваемую задачу к вариационной. В силу наложенных выше ограничений каждому профилю рассматриваемого класса при обте-

кании газом Чаплыгина однозначно соответствует распределение $\lambda(s)$ величины скорости на контуре, имеющее вид

$$\lambda(s) = [s - s_*]^{(2/\alpha)-1} [(1-s)]^{(2/\alpha)-1} \lambda_0(s), \quad 0 \leq s \leq 1$$

где s — дуговая абсцисса контура L_s , отнесенная к его периметру и отсчитываемая от $s = 0$ в задней кромке B до $s = 1$ в ней же так, что область течения остается слева, s_* — абсцисса точки A разветвления потока, $\lambda_0(s)$ — положительная непрерывная функция. Это соответствие можно описать, воспользовавшись интегральным представлением решения обратной краевой задачи аэрогидродинамики для газа Чаплыгина [11]. Координаты L_s определяются параметрическими формулами

$$x(y) + iy(y) = iu_0 \exp(iC_0) \int_0^y \left\{ \exp[-\chi(e^\zeta)] H(e^\zeta) e^\zeta + c^2 \exp[\overline{\chi}(e^\zeta)] H(\overline{e^\zeta}) e^{-\zeta} \right\} d\tau, \quad 0 \leq y \leq 2\pi \quad (1.6)$$

$$H(\zeta) = e^{-\theta} \left(1 - \frac{e^{2\theta}}{\zeta^2} + \frac{e^{2\theta} - 1}{\zeta} \right), \quad \chi(\zeta) = -\frac{1}{2\pi} \int_0^{2\pi} S(y) \frac{e^\zeta + \zeta}{e^\zeta - \zeta} dy.$$

Постоянная u_0 в (1.6) задает линейный масштаб и определяется из условия равенства хорды профиля единице. Величина C_0 фиксируется так, чтобы направление оси абсцисс совпало с хордой профиля. Отметим, что функция $S(y)$ связана с распределением $\lambda(s)$ формулой

$$\lambda[s(y)] = e^{s(y)} [1 - c^2 e^{2s(y)}]^{-1} \quad (1.7)$$

где $s(y)$ легко находится из (1.6).

Контур профиля будет замкнутым тогда и только тогда, когда выполняются условия [12]

$$\int_0^{2\pi} S(y) e^{iy} dy = \frac{2\pi i e^\theta \sin \beta}{\sqrt{1 + 4c^2 \lambda_\infty^2}} \quad (1.8)$$

Величина скорости набегающего потока определяется по $S(y)$ из соотношения

$$T \equiv \frac{1}{2\pi} \int_0^{2\pi} S(y) dy = \ln F(\lambda_\infty), \quad F(\lambda_\infty) = \ln \frac{2\lambda_\infty}{1 + \sqrt{1 + 4c^2 \lambda_\infty^2}} \quad (1.9)$$

При $c^2 = \text{const}$ функция $F(\lambda_\infty)$ строго возрастает на интервале $(0, 1)$. Далее, в силу (1.2) и (1.7) течение вокруг профиля будет всюду дозвуковым, если $\lambda[s(y)] \leq 1$, т. е.

$$S(y) \leq A_0(c^2), \quad A_0(c^2) = \ln \left\{ \frac{\sqrt{1 + 4c^2} - 1}{2c^2} \right\} \quad (1.10)$$

Итак, если взять множество управляющих функций $S(y)$, удовлетворяющих условиям (1.8)–(1.10), то каждой из них однозначно соответствует профиль, восстанавливаемый по формуле (1.6). Указанные ограничения на множество управляющих функций не гарантируют простоту контуров L_s , поэтому формула (1.6) описывает более широкое, чем исходное, множество течений, включающее и неоднолистные. При соответствующем значении T каждый построенный профиль будет обтекаться дозвуковым потоком газа со скоростью λ_∞ на бесконечности, определяемой из уравнения (1.9). Пусть $c^2 = 0,296$. Тогда в силу монотонности функции $F(\lambda_\infty)$ имеем $\lambda_\infty = e^T / (1 - c^2 e^{2T})$. Следовательно, задача максимизации λ_∞ в этом случае эквивалентна максимизации функционала T на выбранном множестве функций $S(y)$. При этом условие (1.8) принимает вид

$$\int_0^{2\pi} S(y) e^{iy} dy = \pi a(T, \beta), \quad a(T, \beta) = 2ie^\beta \sin \beta \frac{1 - c^2 e^{2T}}{1 + c^2 e^{2T}} \quad (1.11)$$

Отметим, что функционал T и ограничение (1.10) линейны, однако полученная экстремальная задача является нестандартной, так как правая часть (1.11) нелинейно зависит от максимизируемой величины T .

2. Решение вариационной задачи. Положим $c^2 = 0,296$. Равенства (1.9), (1.11) означают фиксацию трех первых коэффициентов в разложении функции $S(y)$ в тригонометрический ряд Фурье. Учитывая это, представим $S(y)$ в виде

$$S(y) = T + \operatorname{Re} F_T(e^y), \quad F_T(\zeta) = \frac{a(T, \beta)}{\zeta} + \sum_{k=1}^{\infty} a_k \zeta^{-k} \quad (2.1)$$

где F_T — функция, аналитическая в области $|\zeta| > 1$. Используя (2.1), запишем ограничение (1.10) в форме

$$T - A_0 + \sup_y \operatorname{Re} F_T(e^y) \leq 0 \quad (2.2)$$

Через $K(c_1, d_1)$ обозначим класс функций $f(y)$ из пространства $L_2[0, 2\pi]$, у которых фиксированы коэффициенты c_1 и d_1 ($c_1^2 + d_1^2 \neq 0$) в разложении в ряд Фурье, а коэффициент $c_0 = 0$, т. е.

$$f(y) = \sum_{k=1}^{\infty} (c_k \cos ky + d_k \sin ky)$$

Очевидно, что $\operatorname{Re} F_T(e^y)$ принадлежит классу $K(c_1, d_1)$, где $c_1 + id_1 = -i |a(T, \beta)| e^\beta$. Для решения вариационной задачи потребуется следующее утверждение: для любой функции $f(y)$ из $K(c_1, d_1)$ имеет место точная оценка

$$\sup_y f(y) \geq |a(T, \beta)|/2 \quad (2.3)$$

Это утверждение было доказано на основе принципа Линделефа (см., например, [13]). Отметим, что оценка (2.3) не достигается на классе $K(c_1, d_1)$, но равенство в (2.3) реализуется в пределе при $\eta \rightarrow 0$ для функций g_η , $g_\eta(y) = \operatorname{Re} G_\eta(e^y)$ из $K(c_1, d_1)$, где

$$G_\eta(\zeta) = \frac{ie^\beta |a(T, \beta)|}{\zeta + ie^\beta(1 - \eta)}, \quad 1 \geq \eta > 0, \quad |\zeta| \geq 1$$

Покажем, что максимальное значение функционала T является решением T^* уравнения

$$T - A_0 + A(T, \beta) = 0, \quad A(T, \beta) = \frac{|a(T, \beta)|}{2} = \sin \beta \frac{1 - c^2 e^{2T}}{1 + c^2 e^{2T}} \quad (2.4)$$

Нетрудно видеть, что уравнение (2.4) имеет единственный корень при любом фиксированном $0 \leq \beta \leq \pi/2$.

Действительно, предположим, что для некоторой функции $S_1(y)$ функционал T принимает значение $T_1 > T^*$. В силу (2.3) и строгой монотонности по T левой части (2.4) имеем

$$T_1 - A_0 + \sup_y S_1(y) \geq T_1 - A_0 + A(T_1, \beta) > T^* - A_0 + A(T^*, \beta) = 0$$

Пришли к противоречию с ограничением (2.2).

Таким образом, при фиксированном β максимальное значение λ^* скорости набегающего потока, для которого существуют профили с дозвуковым обтеканием, может быть теперь определено так:

$$\lambda^* = e^{T^*}/(1 - c^2 e^{2T^*})$$

где T^* — корень уравнения (2.4). Соответственно критическое число M^* определяется по λ^* из формулы (1.5). В предельном случае $\beta = 0$ имеем $T^* = A_0$ и, следовательно, $M^* = 1$. Этому случаю соответствует симметричное обтекание отрезка со звуковой скоростью. В общем случае график зависимости $M^* = M^*(\beta)$ для $\kappa = 1,4$ изображен линией 1 на фиг. 2. Эта линия позволяет разделить область изменения параметров M_∞, β на две зоны. Если о проектируемом профиле известно, что он должен обтекаться потоком под таким углом β и с таким числом Маха M_∞ , что точка (M_∞, β) лежит выше линии 1, то в рамках принятой модели профиль обязательно будет иметь сверхзвуковую зону. Если точка (M_∞, β) лежит ниже линии 1, то построение докритического профиля с указанными характеристиками возможно.

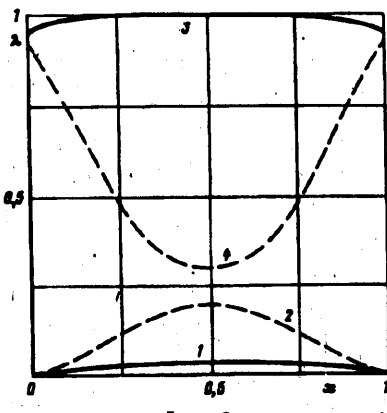
Кратко опишем случай, когда величина c^2 не является постоянной и определяется одной из формул (1.3) или (1.4). В этом случае функция $F(\lambda_\infty)$ в (1.9) имеет максимум в некоторой точке λ_0 и является строго возрастающей лишь при $0 \leq \lambda_\infty \leq \lambda_0$. При $\kappa = 1,4$ имеем соответственно для зависимостей (1.3) и (1.4) $\lambda_0 = 0,80275$ и $0,85975$. Поэтому проведенные в разд. 3 построения остаются в силе при дополнительном ограничении $0 \leq \lambda_\infty \leq \lambda_0$. При этом в правых частях (1.10) и (1.11) в выражение $c^2(\lambda_\infty)$ нужно подставить $\lambda_\infty = F^{-1}(e^T)$, где F^{-1} — функция, обратная к $F(\lambda_\infty)$ на интервале $0 \leq \lambda_\infty \leq \lambda_0$. При практическом проектировании, как будет видно ниже, названное дополнительное ограничение имеет место. Далее, при переменной величине c^2 свойство строгой монотонности по T левой части (2.4), существенно использованное при оценке M^* , нарушается. Так, при $0 \leq \beta \leq \pi/4$ и ограничении $0 \leq \lambda_\infty \leq \lambda_0$ монотонность имеет место и, следовательно, доказанные утверждения остаются в силе. Но при дальнейшем увеличении β допустимый интервал изменения λ_∞ уменьшается до $0 \leq \lambda_\infty \leq \lambda_1$, причем для $\beta = \pi/2$ имеем $\lambda_1 = 0,74$ и $0,79$ для зависимостей (1.3) и (1.4) соответственно. Окончательно для переменной величины c^2 полученные результаты остаются справедливыми при условии, что $0 \leq \lambda_\infty \leq \lambda_1$.

3. Профили с повышенным критическим числом Маха. Построение дозвуковых профилей для значений M_∞ , близких к максимально возможному значению $M^*(\beta)$ представляет практический интерес. Как уже было отмечено выше, при нахождении $M^*(\beta)$ не учитывались условия самонепересекаемости контура L . Расчеты показали, что при приближении M_∞ к $M^*(\beta)$ дозвуковое обтекание возможно лишь для неоднолистных профилей. Приведем один такой пример.

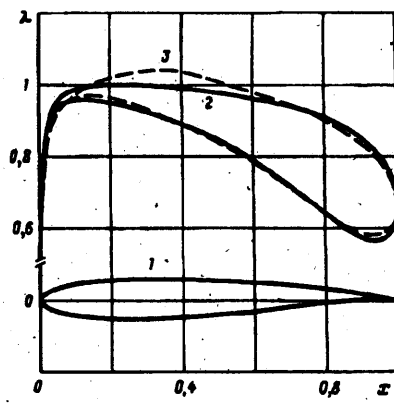
Положим $c^2 = 0,296$, $\epsilon_1 = \epsilon = 2$ (кромки A и B — бесконечно тонкие) и возьмем $S(y)$ в виде

$$S(y) = S_\eta(y) \equiv T + g_\eta(y) \quad (3.1)$$

Такой выбор функции $S(y)$ объясняется тем, что при $\eta \rightarrow 0$, как указано выше, $S_\eta(y)$ стремится к функции $S_0(y)$, для которой $M_\infty = M^*(\beta)$. Значение T и соответствующую величину M_∞ найдем из условия $\max S_\eta(y) = A_0$, эквивалентного уравнению $T = A_0 + 2A(T, \beta) / (2 - \eta) = 0$. На фиг. 3 представлен неоднолистный профиль, построенный по формулам (1.6) для функции $S_\eta(y)$ вида (3.1) при $\eta = 0,3$, $\beta = 0,17$ (10°) (линии 1 и 2 — соответственно верхняя и нижняя поверхности). Хордовая диаграмма скорости $\lambda(x)$ изображена линиями 3 и 4 на той же фиг. В этом примере $M_\infty = 0,78$, что лишь на 3,7% меньше максимально возможного значения $M^*(0,17) = 0,81$. Расчеты показали, что при уменьшении η нижняя поверхность профиля все выше поднимается над верхней. Значение M_∞ при этом, естественно, приближается к экстремальному. Таким образом, точкам, расположенным в нижней полукрестности линии 1 на фиг. 2,



Фиг. 3



Фиг. 4

соответствуют физически нереализуемые решения. Поэтому естественно попытаться найти однолистные профили с повышенным критическим числом Маха за счет аппроксимации $S_0(y)$ функциями из некоторого многопараметрического семейства. Приведем один из вариантов реализации этой идеи.

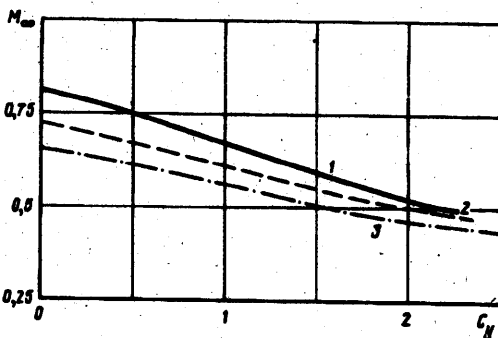
Возьмем $S(y)$ в виде

$$S(y) = S_\eta(y; \rho_1, \rho_2) \equiv \\ \equiv T + g_\eta(y) + \operatorname{Re} \left[(2 - \varepsilon) \ln \frac{\xi - 1}{\xi - \rho_2} + (2 - \varepsilon_1) \ln \frac{\xi + e^{2\beta}}{\xi + \rho_1 e^{2\beta}} \right] \Big|_{\xi=e^y} \quad (3.2)$$

где $1 > \rho_1 > 0$, $1 > \rho_2 > 0$. Параметры ρ_1, ρ_2 позволяют влиять соответственно на толщину передней и задней кромок. При $\rho_1 \rightarrow 1$ и $\rho_2 \rightarrow 1$ функция (3.2) неограниченно приближается к функции (3.1) по норме пространства L_2 . Положим $c^2 = 0,296$, $\varepsilon_1 = 1$ (передняя кромка A — закругленная), $\varepsilon = 2$ (задняя кромка B бесконечно тонкая) и выберем $\eta = 0,3$, $\beta = 0,05$ (3°), $\rho_1 = 0,8$. Величину T и соответствующее значение M_∞ найдем из условия $\max \lambda(y) = 1$.

На фиг. 4 представлен профиль 1 с относительной толщиной $t = 10,9\%$, построенный описанным способом. Распределение скорости $\lambda(x)$ на его поверхности изображено сплошной линией 2. Рассчитанные значения коэффициента подъемной силы $C_s = 0,368$, угла атаки $\alpha = -1,06^\circ$, $M_\infty = 0,75$. Профиль имеет характерный для известных околозвуковых профилей протяженный участок постоянной скорости на верхней поверхности и «подрезку» около задней кромки на нижней поверхности. Для проверки результатов проектирования при $M_\infty = 0,75$ и $\alpha = -1,06^\circ$ был проведен расчет обтекания построенного профиля в рамках адиабатического течения идеального газа по программе, разработанной в [14]. Рассчитанное распределение скорости (штриховая линия 3 на фиг. 4) незначительно отличается от исходного. Величина C_s получилась равной 0,389. Отметим, что $\lambda_{\max} = 1,05$, т. е. на профиле имеется небольшая сверхзвуковая зона. Однако, как следует из представленных результатов, обтекание профиля — безударное. Таким образом, профиль, соответствующий функции $S(y)$ вида (3.2), обладает высоким значением M_∞ , причем его характеристики подтверждены в результате решения прямой задачи.

Интересным представляется более подробное изучение свойств профилей выделенного класса. Далее будем полагать $\varepsilon_1 = 1$, $\varepsilon = 2$. В этом случае



Фиг. 5

формула (3.2) определяет семейство профилей, зависящее от трех параметров: β , η и ρ_1 . С практической точки зрения для проектирования околозвуковых профилей важно выявить зависимости между параметрами M_∞ , C_y и t , имеющими физический смысл. Серии расчетов позволили построить диаграммы зависимости M_∞ от C_y для различных значений t . Некоторые из них представлены на фиг. 5, где линии 1—3 соответствуют значениям $t = 10$, 20 и 30%. Эти диаграммы дают возможность для фиксированной толщины t и заданного C_y найти максимальное значение M_∞ , которое может быть реализовано для профилей рассматриваемого класса при условии их дозвукового обтекания. Например, для $t = 13\%$, $C_y = 0$ из соответствующей диаграммы находим $M_\infty = 0,808$. Для сравнения: один из известных безударных симметричных профилей [15] с $t = 13\%$ при $M_\infty = 0,8$ обтекается уже трансзвуковым потоком.

Приведенное и другие сопоставления показывают, что рассматриваемые профили имеют повышенное критическое значение M_∞ . Следовательно, построенные диаграммы можно использовать для оценки критического числа M^* , достижимого на реальных профилях. Профили представленного класса могут быть взяты за основу при проектировании высокоскоростных безударных профилей.

Авторы благодарят Г. Ю. Степанова за внимание к работе и ценные замечания и Ю. Б. Лифшица за помощь в проведении расчетов трансзвукового обтекания построенных профилей.

СПИСОК ЛИТЕРАТУРЫ

1. Gilberg D., Shiffman M. On bodies achieving extreme values of the critical Mach number. I // J. Ration. Mech. and Analysis. 1954. V. 3. № 2. P. 209—230.
2. Брутян М. А., Ляпунов С. В. Оптимизация формы симметричных тел с целью увеличения критического числа Маха // Уч. зап. ЦАГИ. 1981. Т. 12. № 5. С. 10—22.
3. Брутян М. А., Ляпунов С. В. Вариационный метод решения задач со свободными линиями тока // Уч. зап. ЦАГИ. 1981. Т. 12. № 1. С. 11—18.
4. Крайко А. Н. Плоские и осесимметричные конфигурации, обтекаемые с максимальным критическим числом Маха // ПММ. 1987. Т. 51. Вып. 6. С. 941—950.
5. Аульченко С. М. Метод оптимизации профилей в дозвуковом потоке идеального газа: Препринт № 30. Новосибирск: ИТПМ СО АН СССР, 1987. 44 с.
6. Аульченко С. М., Латыпов А. Ф., Яненко Н. Н. Применение проекционного метода для построения контура тела минимального сопротивления // Изв. АН СССР. МЖГ. 1985. № 2. С. 108—113.
7. Loewner C. Some bounds for the critical free stream Mach number of a compressible flow around an obstacle // Studies in Math. and Mech. N. Y.: Acad. press. 1954. P. 177—183.
8. Берс Л. Математические вопросы дозвуковой и околозвуковой газовой динамики. М.: Изд-во иностр. лит., 1961. 208 с.
9. Степанов Г. Ю. Гидродинамика решеток турбомашин. М.: Физматгиз, 1962. 512 с.
10. Христинович С. А., Юрьев И. М. Обтекание крылового профиля при докритической скорости потока // ПММ. 1947. Т. 11. № 1. С. 105—118.
11. Елизаров А. М., Ильинский Н. Б., Поташев А. В. Построение крыловых профилей

- методом квазирешений обратных краевых задач // Изв. АН СССР. МЖГ. 1988. № 3. С. 5—13.
12. Ильинский Н. Б., Поташев А. В., Фокин Д. А. Построение крыловых профилей в дозвуковом потоке газа методом квазирешений обратных краевых задач // Уч. зап. ЦАГИ. 1989. Т. 20. № 4. С. 98—101.
13. Галузин Г. М. Геометрическая теория функций комплексного переменного. М.: Наука, 1966. 628 с.
14. Лифшиц Ю. Б., Шагаев А. А. Проекционно-сеточная схема для расчета обтекания профиля трансзвуковым потоком // Ж. вычисл. матем. и матем. физики. 1988. Т. 28. № 8. С. 1163—1176.
15. Garabedian P. R., Korn D. G. Numerical design of transonic airfoils // Numerical Solution of Partial Differential Equation. II. N. Y.: Acad. press, 1971. Р. 253—271.

Казань

Поступила в редакцию
25.VII.1990